

# Сигнал в лінії надтонкої структури основного стану гідрогену з епохи Темних віків як космологічний тест

Б. Новосядлий<sup>1,2</sup>, Ю. Кулініч<sup>1</sup>, О. Коноваленко<sup>3</sup>

<sup>1</sup>Астрономічна обсерваторія Львівського національного університету імені Івана Франка, вул. Кирила і Мефодія, 8, м. Львів, 79005, Україна

<sup>2</sup>Міжнародний центр наук майбутнього Цзілінського університету, вул. Кванцзінь, 2699, м. Чанчунь, 130012, КНР and

<sup>3</sup>Радіоастрономічний інститут НАН України, вул. Мистецтв, 4, Харків 61002, Україна

(Dated: 18 січня 2024 р.)

Ми аналізуємо формування сигналу в лінії надтонкої структури 21 см гідрогену в Темні віки ( $30 \leq z \leq 300$ ) в різних космологічних моделях та можливості його детектування радіотелескопами декаметрового діапазону. Для дослідження залежності інтенсивності і профілю лінії від значень космологічних параметрів і фізичних умов у міжгалактичному середовищі була розрахована еволюція глобальної (усередненої по небу) диференційної яскравісної температури в цій лінії в стандартній і нестандартній космологічних моделях з різними параметрами. Стандартна  $\Lambda$ CDM модель з постпланківськими параметрами передбачає значення диференційної яскравісної температури в центрі лінії поглинання  $\delta T_{br} \approx -35$  мК на  $z \approx 87$ . Частота лінії в максимумі поглинання 16 МГц, ефективна ширина лінії  $\approx 25$  МГц. Глибина лінії помірно чутлива до  $\Omega_b$  і  $H_0$ , слабо чутлива до  $\Omega_{dm}$  і нечутлива до інших параметрів стандартної  $\Lambda$ CDM моделі. Але лінія дуже чутлива до додаткових механізмів нагрівання або охолодження баріонної матерії під час Темних віків, тому вона може бути ефективним тестом нестандартних космологічних моделей. У моделях з темною матерією, що розпадається і самоанігілює, а також з первісним глобальним стохастичним магнітним полем, температура баріонної матерії в цей період тим вища, чим більша густина цих компонент темної матерії і напруженості магнітного поля. Лінія поглинання мілкішає, щезає і переходить в емісію при значеннях параметрів компонент, нижчих за верхні межі на них, які впливають з даних спостережень. Оцінки показують, що такі спектральні особливості можуть бути задетектовані радіотелескопами декаметрового діапазону довжин хвиль у недалекому майбутньому.

PACS numbers: 95.36.+x, 98.80.-k

Keywords: космологічні Темні віки, лінія 21 см гідрогену, самоанігіляційна темна матерія, розпадна темна матерія, первісні магнітні поля

## I. ВСТУП

Відкриття Космічним телескопом імені Джеймса Вебба двох галактик з інтенсивним зореутворенням на червоних зміщеннях 12.63 (JADES-GS-z12-0) і 13.20 (JADES-GS-z13-0) [1, 2] підсилили інтерес до ранніх епох еволюції Всесвіту, коли почали формуватися перші світні об'єкти. Їхні маси  $2.5 \cdot 10^8 M_\odot$  і  $6.3 \cdot 10^7 M_\odot$  відповідно. Існування галактик таких мас і такої концентрації в молодому Всесвіті (340 і 320 мільйонів років після Великого вибуху) є викликом для сучасної космології. Інша актуальна проблема – розбіжності визначення сталої Габбла на рівні  $> 4\sigma$  за надновими типу Ia ближнього (пізнього) Всесвіту ( $z \leq 3$ ,  $H_0 = 74.0 \pm 1.4$  км/с·Мпк) і за спектром потужності флюктуацій температури і поляризації реліктового випромінювання, який сформований на ранніх етапах його еволюції ( $z > 1000$ ,  $H_0 = 67.4 \pm 0.5$  км/с·Мпк) [3, 4]. Це змушує шукати нові космологічні тести, зокрема, на проміжних червоних зміщеннях  $z \sim 10 - 300$ , в епоху Темних віків і Космічного світанку, коли ще не було ні зір, ні галактик. Які сигнали можна очікувати з тих часів?

Важливим інформаційним каналом про стан баріон-

ної матерії в цей період є лінія надтонкої структури основного стану гідрогену  $\lambda_0=21$  см (див. огляди [5–12]). Наведена довжина хвилі випромінювання переходу у власній системі відліку, її частота у вакуумі складає  $\nu_0=1420$  МГц. Для земного спостерігача ця лінія зміщена в сторону більших довжин хвиль  $\lambda_{obs} = 21(1+z)$  см ( $\nu_{obs} = 1420/(1+z)$  МГц) через космологічне розширення Всесвіту, де  $z$  - це червоне зміщення області формування лінії. Найдавніші сигнали про формування гало перших галактик в епоху Темних віків також можна отримати в цій спектральній лінії [13–18]. Фізичні умови в дозоряну епоху, стан збудження та іонізації гідрогену аналізувались у різних космологічних моделях і сценаріях утворення перших джерел світла. Відомі спектральні особливості включають широкі лінії поглинання, зміщені до  $\sim 10 - 20$  МГц при  $z \sim 80 - 90$  і  $\sim 70 - 130$  МГц при  $z \sim 20 - 10$ , а також слабку емісійну лінію перед повною реіонізацією. Друга лінія поглинання спричинена ефектом Восайшена-Філда [19–21] і визначається в основному спектральним розподілом енергії перших джерел світла [22–29]. В останні роки реалізовано кілька проектів з метою детектування лінії поглинання 21 см, яка формується в інтервалі

червоних зміщень  $10 - 20$  (спостережувана довжина радіохвилі  $\sim 2-4$  м, частота  $\sim 68 - 130$  МГц). Єдине виявлення цієї лінії в експерименті з Детектування глобальної епохи реіонізації (Experiment to Detect the Global Epoch of Reionization Signature, EDGES) [30] вказує на профіль незвичайної форми та несподівано велику глибину з центром на  $78$  МГц, у  $\sim 3-4$  рази глибшою, ніж це очікується в стандартній  $\Lambda$ CDM моделі. Пояснення виходять за межі стандартної космології, включаючи додаткові механізми для охолодження баріонів, надлишковий радіофон при високих червоних зміщеннях, в'язку темну енергію тощо [31–33]. Інше пояснення [34] полягає в складності усунення шумів переднього фону, вилучення синхротронного випромінювання міжзоряної плазми нашої галактики, випромінювання іоносфери Землі та радіовипромінювання техногенного походження, які за інтенсивністю на кілька порядків перевищують корисний позагалактичний сигнал в цьому діапазоні довжин хвиль. Нещодавні аналогічні вимірювання в експерименті SARAS 3 (Shaped Antenna measurement of the background Radio Spectrum 3) [35] підтверджує останнє припущення: зареєстрований спектр не має ознак, знайдених у EDGES, на рівні достовірності  $95,3\%$ . Але SARAS 3 [35] не виявив якихось спектральних особливостей в діапазоні частот  $55-85$  МГц, тому актуальними є як теоретичні передбачення так і вимірювання сигналу в лінії  $21$  см з раннього Всесвіту.

Лінія поглинання  $21$  см, сформована у більш ранню епоху на  $z \sim 100$ , в епоху Темних віків, менш досліджена з точки зору її інформативності та можливостей її детектування. Для земного спостерігача вона знаходиться у декаметровому діапазоні довжин хвиль  $\lambda_{obs} \sim 20$  м ( $\nu_{obs} \sim 15$  МГц), ще складнішому для детектування позагалактичних сигналів з поверхні Землі. Щоб усунути завади земного походження (природного і техногенного характеру), наукові команди різних країн пропонують проекти радіотелескопів декаметрового діапазону довжин хвиль, розташованих на зворотній від Землі стороні Місяця [36–40], серед яких і команда Радіоастрономічного інституту НАН України. Два з них [36, 37] уже на етапах реалізації.

У цій статті ми аналізуємо чутливість положення і глибини глобальної (усередненої по всьому небу) лінії поглинання  $21$  см нейтрального водню до космологічних параметрів стандартної  $\Lambda$ CDM моделі, а також нагріву/охолодження баріонної компоненти в не-стандартних космологічних моделях з розпадною та самоаніляційною темною матерією, первісним магнітним полем та додатковим охолодженням. Стандартною (реперною) космологічною моделлю ми вважаємо  $\Lambda$ CDM з космологічними параметрами з [41, 42]:  $H_0 = 67.36 \pm 0.54$  км/с·Мпк (стала Габбла),  $\Omega_b = 0.0493 \pm 0.00112$  (параметр густини<sup>1</sup> баріонної мате-

рії),  $\Omega_{dm} = 0.266 \pm 0.0084$  (параметр густини темної матерії),  $\Omega_r = 2.49 \cdot 10^{-5}$  (параметр густини релятивістської компоненти (реліктове випромінювання і нейтрино)),  $\Omega_\Lambda = 0.6847 \pm 0.0073$  та  $\Omega_K = 0$  (обезрозмірені<sup>2</sup> космологічна стала  $\Lambda$  та кривина  $3$ -простору  $K$  відповідно).

План роботи такий. У розділі II ми описуємо стан міжгалактичного середовища і, зокрема, іонізацію і збудження нейтрального водню у різних космологічних моделях впродовж епохи Темних віків, від космологічної рекомбінації до початку реіонізації в епоху Космічного світанку. У розділі III ми аналізуємо залежність положення та глибини лінії поглинання  $21$  см в епоху Темних віків від космологічних параметрів у стандартній  $\Lambda$ CDM моделі та додаткового нагріву та охолодження баріонної складової в нестандартних космологічних моделях. У розділі IV ми аналізуємо можливості та перспективи детектування цієї лінії діючими та запланованими до будівництва радіотелескопами декаметрового діапазону довжин хвиль. Результати підсумовані у Висновках.

## II. СТАН МІЖГАЛАКТИЧНОГО СЕРЕДОВИЩА В ТЕМНІ ВІКИ

Для розрахунку свічення нейтрального водню в лінії  $21$  см в епоху Темних віків необхідно вираховувати іонізаційну і теплову історію газу, а також заселеність рівнів надтонкої структури атомарного водню. Усі вони залежать від параметрів космологічної моделі, механізмів іонізації і нагрівання та охолодження баріонного газу. У цьому розділі розглянемо іонізаційну і теплову історію газу в стандартній  $\Lambda$ CDM моделі, в моделі з первісним магнітним полем, з розпадною і самоаніляційною темною матерією, а також в моделі з додатковим охолодженням. Це далеко не всі можливості розширення стандартної  $\Lambda$ CDM моделі, але такі, що демонструють перспективи постановки спостережних досліджень у цьому напрямку.

### A. Стандартна $\Lambda$ CDM модель

Після епохи космологічної рекомбінації та до епохи реіонізації майже весь водень у Всесвіті,  $> 99\%$ , перебував у нейтральному стані. Наслідком розширення Всесвіту є його заливкова або загартувальна іонізація. Частка іонізованої фракції  $x_{HII}$  менша  $1\%$  на  $30 < z < 700$  і залежить від густини, механізмів нагрівання/охолодження газу і темпу розширення Всесвіту. Для однорідного ізотропного Всесвіту, який розширюється, температуру газу та іонізацію атомів розраховуємо, інтегруючи систему диференціальних рівнянь енергетичного балансу та кінетики

<sup>1</sup> Параметр густини – це середня густина компоненти в сучасну епоху в одиницях критичної:  $\Omega_i \equiv \rho_i^0 / \rho_{cr}^0$  де  $\rho_{cr}^0 \equiv 3H_0^2 / 8\pi G$

<sup>2</sup>  $\Omega_\Lambda \equiv c^2 \Lambda / 3H_0^2$ ,  $\Omega_K \equiv -c^2 K / H_0^2$

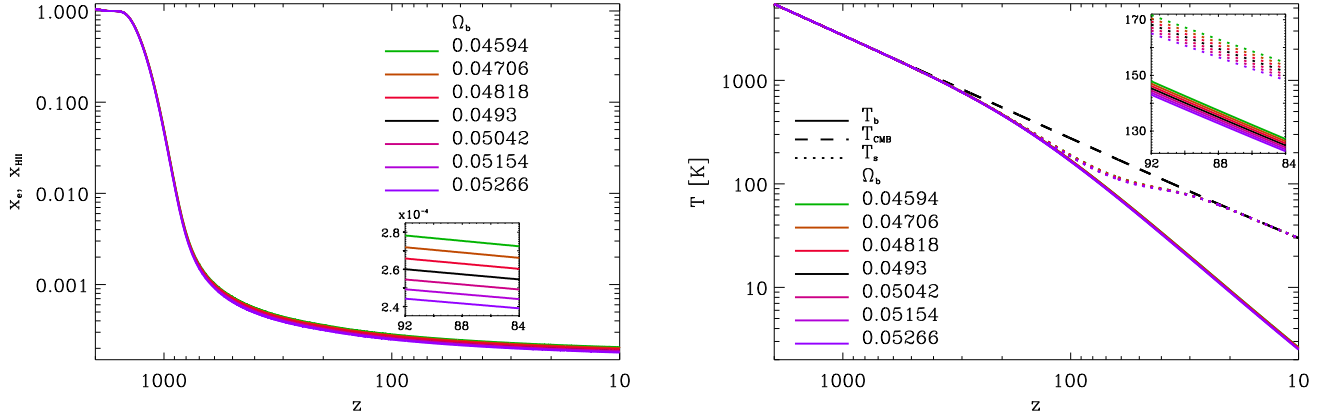


Рис. 1. Залежність фракції іонізованого гідрогену (зліва) і температури (справа) від червоного зміщення в епохи космологічної рекомбінації і Темних віків у стандартній  $\Lambda$ CDM моделі. Суцільними лініями показана температура баріонної матерії в моделях з  $\Omega_b = 0.0493 \pm 1\sigma, \pm 2\sigma, \pm 3\sigma$ , точковими - відповідні спінові температури, а штриховою - температура реліктового випромінювання. На вставках показано залежності фракції іонізованого гідрогену, температури газу і спінової температури від червоного зміщення в області формування лінії поглинання HI 21 см.

Fig. 1. Dependence of the fraction of ionized hydrogen (left) and temperature (right) on redshift in the epochs of cosmological recombination and the Dark Ages in the standard  $\Lambda$ CDM model. Solid lines show the temperature of baryonic matter in the models with  $\Omega_b = 0.0493 \pm 1\sigma, \pm 2\sigma, \pm 3\sigma$ , dotted lines show the corresponding spin temperatures, and dashed lines show the relict radiation temperature. The insets show the dependence of the ionized hydrogen fraction, gas temperature, and spin temperature on the redshift in the region of formation of the HI 21 cm absorption line.

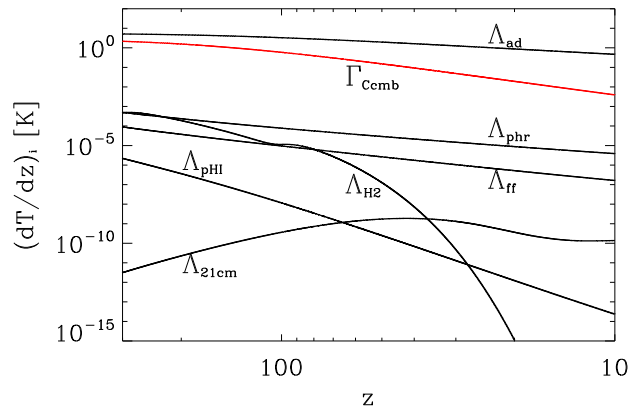


Рис. 2. Функції нагрівання/охолодження у міжгалактичному середовищі епохи Темних віків у стандартній  $\Lambda$ CDM моделі.

Fig. 2. Heating/cooling functions in the intergalactic medium of the Dark Ages in the standard  $\Lambda$ CDM model.

іонізації-рекомбінації атомів<sup>3</sup>. У стандартній  $\Lambda$ CDM моделі основним механізмом нагрівання газу у цей період є комптонівське розсіювання реліктового випромінювання на вільних електронах, а охолодження –

адіабатичне розширення. Всі інші механізми, які мають місце у астрофізичній плазмі, в умовах Темних віків є слабшими на 3 і більше порядків (див. рис. 4 і додаток у [29]). Температуру плазми та іонізацію гідрогену і гелію впродовж космологічної рекомбінації і в епоху Темних віків до  $z = 200$  ми розраховуємо на основі ефективної 3-рівневої моделі атома, реалізованої у загальнодоступній програмі RecFast<sup>4</sup> [47, 48], а на  $z < 200$  систему рівнянь

$$-\frac{3}{2}n_{tot}k_B(1+z)H\frac{dT_b}{dz} = \Gamma_{Ccmb} - \Lambda_{ad} - \Lambda_{ff} - \Lambda_{phr} - \Lambda_{21cm} - \Lambda_{H_2} + \Gamma_{nSM} - \Lambda_{nSM'}, \quad (1)$$

$$-(1+z)H\frac{dx_{HII}}{dz} = R_{HII}x_{HI} + C_{HII}^i n_i x_{HI} - \alpha_{HII} x_{HII} x_e n_H, \quad (2)$$

$$-(1+z)H\frac{dx_{HeII}}{dz} = R_{HeII}x_{HeI} + C_{HeII}^i n_i x_{HeI} - \alpha_{HeII} x_{HeII} x_e n_H, \quad (3)$$

$$H = H_0 \sqrt{\Omega_m(1+z)^3 + \Omega_K(1+z)^2 + \Omega_\Lambda}, \quad (4)$$

де  $T_b$  - температура баріонного газу,  $n_{tot} \equiv n_{HII} + n_e + n_{HeI} + n_{HeII} = n_{tot}^0(1+z)^3$  - концентрація частинок усіх сортів,  $n_H \equiv n_{HI} + n_{HII} = n_H^0(1+z)^3$  - концентрація гідрогену,  $k_B$  - стала Больцмана,  $\Gamma_{Ccmb}$  - функція нагрівання внаслідок комптонівського роз-

<sup>3</sup> Перші молекули складають невелику частку усіх частинок (детальніше див. [43–46]) і в цій роботі не обговорюються

<sup>4</sup> <http://www.astro.ubc.ca/people/scott/recfast.html>

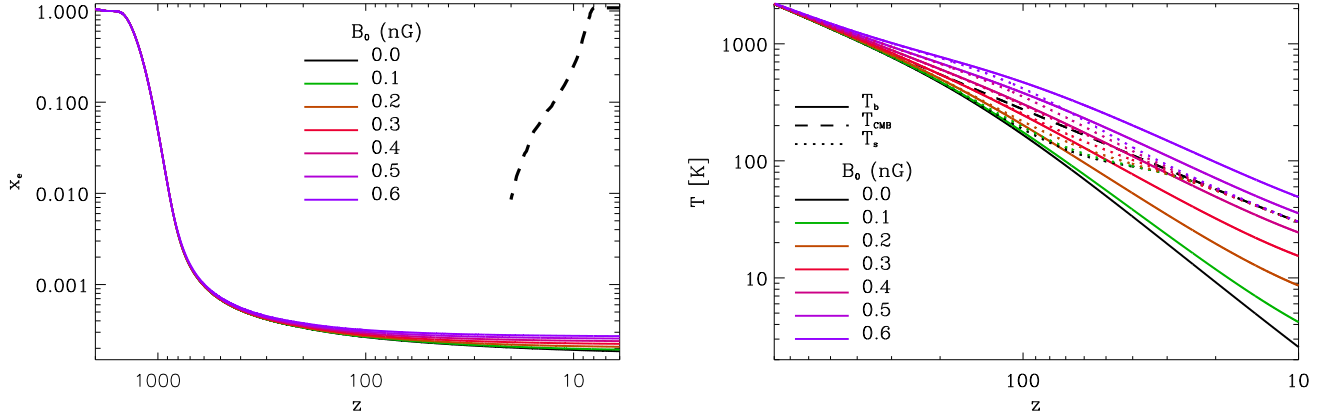


Рис. 3. Залежність фракції іонізованого гідрогену (зліва) і температури баріонної матерії (справа) від червоного зміщення в моделях з первісними стохастичними магнітними полями з різними середньоквадратичними значеннями індукції  $B_0$ , які зростають для ліній знизу вгору. Штрихова лінія на графіку зліва –  $2\sigma$  верхня межа з даних поляризації реліктового випромінювання [41].

Fig. 3. Dependence of ionized hydrogen fraction (left) and baryonic matter temperature (right) on redshift in the models with primordial stochastic magnetic fields with different rms values of induction  $B_0$ , which increase for lines from bottom to top. The dashed line in the left panel is the  $2\sigma$  upper limit from the relict radiation polarization data [41].

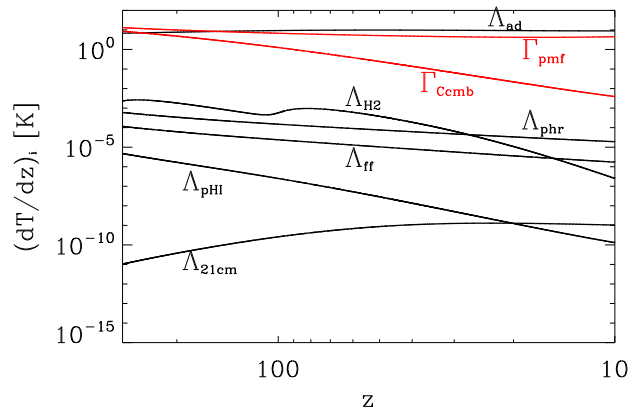


Рис. 4. Функції нагрівання/охолодження у моделі з  $B_0=0.6$  нГс.

Fig. 4. Heating/cooling functions in the model with  $B_0=0.6$  nG.

сіювання реліктового випромінювання на вільних електронах [47, 48],  $\Lambda_{ad}$  – функція адіабатичного охолодження внаслідок розширення Всесвіту [47],  $\Lambda_{ff}$  – функція охолодження внаслідок вільно-вільних переходів електронів [49],  $\Lambda_{pHI}$  – функція охолодження внаслідок фоторекомбінацій [50],  $\Lambda_{21}$  – функція охолодження внаслідок випромінювання в лінії 21 см [47],  $\Lambda_{H_2}$  – функція охолодження внаслідок випромінювання в обертово-коливних переходах молекули  $H_2$  [47],  $\Gamma_{nSM}$  і  $\Lambda_{nSM}$  – функції нагрівання і охолодження в нестандартних моделях (див. параграф III),  $R_{HI}$ ,  $R_{HeI}$  – швидкості фотоіонізації атомів гідрогену

і гелію,  $C_{HI}^i$ ,  $C_{HeI}^i$  – коефіцієнти ударної іонізації  $i$ -им сортом частинок,  $\alpha_{HII}$ ,  $\alpha_{HeII}$  – коефіцієнти рекомбінації іонів гідрогену і гелію,  $\Omega_m = \Omega_b + \Omega_{dm}$ ,  $H(z)$  – темп розширення Всесвіту.

На рис. 1 представлено розрахунки іонізаційної і термічної історії середовища від епохи космологічної рекомбінації гідрогену ( $z = 2000$ ) до кінця епохи Темних віків ( $z = 10$ ). Розкид значення  $\Omega_b$  у межах  $3\sigma$  ( $\pm 6.8\%$  від найбільш оптимального значення  $0.0493$ ) зумовлює  $7.2\%$ -й розкид  $x_e$  довкола значення  $1.918 \cdot 10^{-3}$  та  $2.7\%$ -й розкид  $T_b$  довкола значення  $2.563$  К на  $z = 10$ . Основним механізмом нагрівання газу у цей період є комптонівське розсіювання реліктового випромінювання на вільних електронах, а охолодження – адіабатичне розширення. Всі інші механізми, які мають місце у астрофізичній плазмі, в умовах Темних віків в стандартній  $\Lambda$ CDM моделі є слабшими на 3 і більше порядків, що добре ілюструє рис. 2. Однак в нестандартних космологічних моделях, з додатковими механізмами іонізації, нагрівання чи охолодження термічна та іонізаційна історія плазми епохи Темних віків може бути іншою.

## Б. Модель з первісними магнітними полями

Включення первісних магнітних полів (ПМП) в космологічні сценарії формування структури Всесвіту зумовлене, з одної сторони, гіпотетичними механізмами їх генерації в ранньому Всесвіті (див. огляд [51]) та, з іншої, експериментальними підставами існування позагалактичних магнітних полів, що впливають з даних спостережень випромінювання блаза-

рів в GeV і TeV діапазонах енергії Космічною обсерваторією Фермі, Стереоскопічною системою приймачів  $\gamma$ -квантів високої енергії H.E.S.S. (High Energy Stereoscopic System) в Намібії та масиву детекторів ARGO-YBJ в Тибеті [52, 53]. Останні вказують на нижню межу значення індукції таких полів на масштабах кілька мегапарсек:  $B_0 > 10^{-20}$  Гс. Верхня межа отримана з досліджень впливу стохастичного фону ПМП на анізотропію температури і поляризації реліктового випромінювання в експерименті Planck [54]:  $B_0 < 9 \cdot 10^{-10}$  Гс.

Ці поля розпадаються, що призводить до нагрівання баріонної матерії, впливу на теплову та іонізаційну історію Всесвіту в епоху Темних віків. Розглядають два механізми нагрівання баріонної матерії - внаслідок загасання турбулентної складової магнітного поля та амбіполярної дифузії. Залежність функції нагрівання для них від червоного зміщення з врахуванням результатів в [55–58] можна представити наступним чином:

$$\begin{aligned} \Gamma_{mfdt}(z \geq z_{rec}) &= 1.5\rho_{mf}H(z)\frac{m}{a}[f_D(z)]^{n_B+3} \times \\ &\quad \exp\left\{-\frac{(z-z_{rek})^2}{5000}\right\}\left(\frac{1+z_{rek}}{1+z}\right)^4, \\ \Gamma_{mfdt}(z < z_{rec}) &= 1.5\rho_{mf}H(z)[f_D(z)]^{n_B+3} \times \\ &\quad \frac{m a^m}{(a+1.5\ln((1+z_{rek})/(1+z)))^{m+1}}, \\ \Gamma_{mfad}(z) &= \frac{1-x_{HII}}{g(T_b)x_{HII}}[f_D(z)]^{2n_B+8} \times \\ &\quad \left[\frac{(1+z)k_D}{3.086 \cdot 10^{22}} \frac{\rho_{mf}}{\rho_b}\right]^2 f_L, \end{aligned}$$

$z_{rek}$  і  $t_{rec}$  - червоне зміщення і час космологічної рекомбінації,  $\rho_{mf} = 3.98 \cdot 10^{-21} (B_0/\text{нГс})^2 (1+z)^4$  Дж·м<sup>-3</sup> - густина енергії ПМП,  $n_B = -2.9$  - спектральний індекс спектра потужності ПМП,  $a = \ln(1+t_d/t_{rec})$ ,  $m \equiv 2(n_B+3)/(n_B+5)$ ,  $t_d/t_{rec} = 14.8/(B_0 k_D)$ ,  $k_D = (2.89 \cdot 10^4 h)^{1/(n_B+5)} B_\lambda^{-2/(n_B+5)} k_\lambda^{(n_B+3)/(n_B+5)}$  Мпк<sup>-1</sup>,  $\lambda = 1$  Мпк,  $B_\lambda = B_1 = B_0$ ,  $k_\lambda = k_1 = 2\pi$  Мпк<sup>-1</sup>,  $x_{HII} = n_{HII}/n_H$ ,  $f_L = 0.8313(n_B+3)^{1.105}(1.0-0.0102(n_B+3))$ ,  $g(T_b) = 1.95 \cdot 10^{11} T_b^{0.375}$  м<sup>3</sup>/с/кг,  $\rho_b = \rho_{cr}^{(0)} \Omega_b (1+z)^3$ ,  $k_D = 286.91 (B_0/\text{нГс})^{-1}$  Мпк<sup>-1</sup>. Фактор  $f_D(z)^{n_B+3}$  описує еволюцію масштабу обрізання спектру первісного магнітного поля (див. [58]), який ми апроксимуємо для  $z \leq 1178$  і фіксованих значень  $n_B$  та  $k_D$  поліномом 4-го порядку  $[f_D(z)]^{n_B+3} \simeq 0.6897525 + 0.2944149 \cdot 10^{-3}z - 0.3805730 \cdot 10^{-6}z^2 + 0.2259742 \cdot 10^{-9}z^3 + 0.6354026 \cdot 10^{-13}z^4$ . Для  $z \geq 1178$   $f^{n_B+3}(z) \equiv 1$ .

Результати розрахунків теплового та іонізаційного стану баріонної матерії в епоху Темних віків в моделях з ПМП з різними середньоквадратичними значеннями індукції поля в сучасну епоху  $B_0 = 0.1, 0.2, \dots, 0.6$  наведені на рис. 3. Як бачимо, ПМП з  $B_0$  меншими верхніх спостережних обмежень помітно збільшують температуру баріонної матерії на  $z < 300$ . Якщо

$B_0 \gtrsim 0.4$  нГс, тоді температура  $T_b$  впродовж епохи Темних віків є більшою температури реліктового випромінювання. Фракція іонізованого гідрогену в цю епоху дещо зростає, залишаючись в межах  $\sim 3 \cdot 10^{-4}$ , через зменшення коефіцієнта рекомбінації. Гелій залишається повністю нейтральним, тому  $x_{HII} = x_e$ .

На рис. 4 наведено основні функції нагрівання/охолодження на  $10 < z < 300$  для моделі  $B_0 = 0.6$  нГс. Зауважуємо, що величина функції нагрівання  $\Gamma_{pmf} = \Gamma_{mfdt} + \Gamma_{mfad}$  є значно більшою величини функції нагрівання внаслідок комптонівського розсіювання реліктового випромінювання на вільних електронах, але дещо меншою величини функції адиабатичного охолодження. Значно зросла величина функції охолодження  $\Lambda_{H_2}$ , зумовленої втратами на збудження обертово-коливних ліній найпоширенішої молекули гідрогену  $H_2$  на  $z < 50$  у порівнянні із стандартною моделлю (рис. 2). На  $z = 20$  це зростання на 10 порядків (!), хоч  $\Lambda_{H_2}$  залишається, тим не менше, нехтівно малим у порівнянні з основними механізмами нагрівання/охолодження. З іншої сторони, це вказує на те, що інтенсивність свічення у молекулярних лініях значно зростає у таких моделях. У моделях з  $B_0 = 0.1$  нГс  $\Gamma_{pmf}$  стає більшим  $\Gamma_{Cmb}$  на  $z < 40$ .

Температура збудження верхнього рівня надтонкої структури основного стану гідрогену або спінова температура, стає більшою температури реліктового випромінювання у моделях з  $B_0 \gtrsim 0.4$  нГс (точкові лінії на рис. 3).

## В. Модель з самоанігіляційною темною матерією

Стандартна  $\Lambda$ CDM модель має лише один параметр, що відповідає за холодну темну матерію, – це її масова густина. На інші допустимі параметри існують лише верхні обмеження, що впливають з астрофізичних спостережень та лабораторних експериментів, в яких не зареєстровано передбачувані сигнали в припущенні певної природи частинок темної матерії. Тут ми хочемо отримати оцінку значень параметрів самоанігіляційної темної матерії, при яких зміна іонізаційної і теплової історії баріонної матерії в епоху Темних віків проявилась би, зокрема, в характеристиках лінії 21 см нейтрального гідрогену. Для цього використаємо просту модель самоанігіляційної темної матерії, яка запропонована в роботі [59]. У ній припускається, що частка темної матерії здатна самоанігілювати з ефективним перерізом  $\langle\sigma v\rangle$ , усередненим за швидкостями частинок темної матерії з масою  $m_{dm}$ . Енергія, яка йде на нагрівання баріонної матерії в одиниці об'єму за одиницю часу, складає

$$\begin{aligned} \Gamma_{dman} &= 1.6 \cdot 10^{-12} f_{dman} g_h \epsilon_0 n_H (1+z)^3 \frac{\text{eP}}{\text{cm}^3 \text{c}}, \quad (5) \\ \epsilon_0 &= 4.26 \cdot 10^{-28} \left[ \frac{100 \text{GeV}}{m_{dm}} \right] \left[ \frac{\Omega_{dm} h^2}{0.12} \right]^2 \left[ \frac{\langle\sigma v\rangle}{10^{-29} \text{cm}^3/\text{c}} \right] \end{aligned}$$

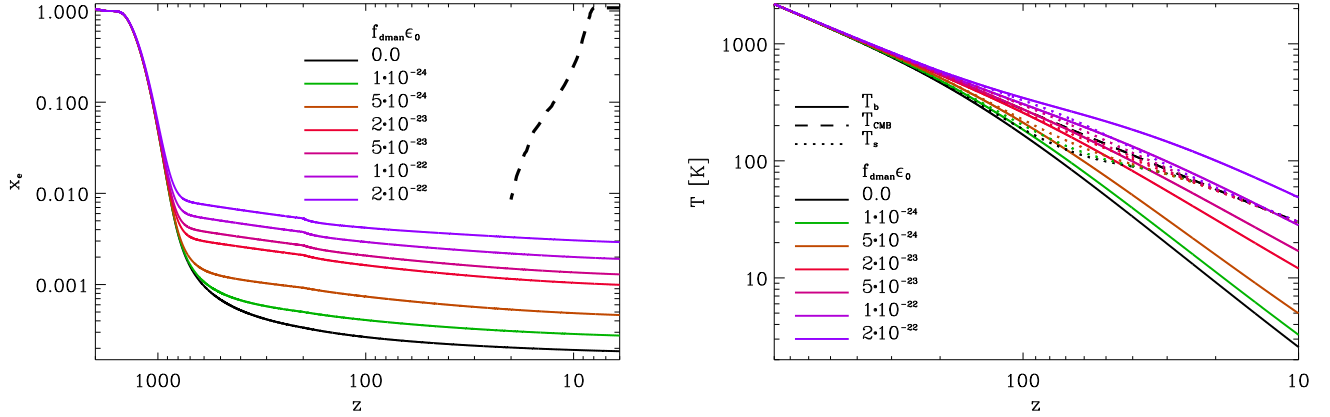


Рис. 5. Залежність фракції іонізованого гідрогену (зліва) і температури баріонної матерії (справа) від червоного зміщення в моделях з самоанігіляційною темною матерією з різними значеннями сукупного параметра  $f_{dman}\epsilon_0$ , які зростають для ліній знизу вгору. Штрихова лінія на графіку зліва – те саме, що й на рис. 3.

Fig. 5. Dependence of ionized hydrogen fraction (left) and baryonic matter temperature (right) on redshift in the models with self-annihilating dark matter with different values of the aggregate parameter  $f_{dman}\epsilon_0$ , which increase for lines from bottom to top. The dashed line in the left panel is the same as in fig. 3.

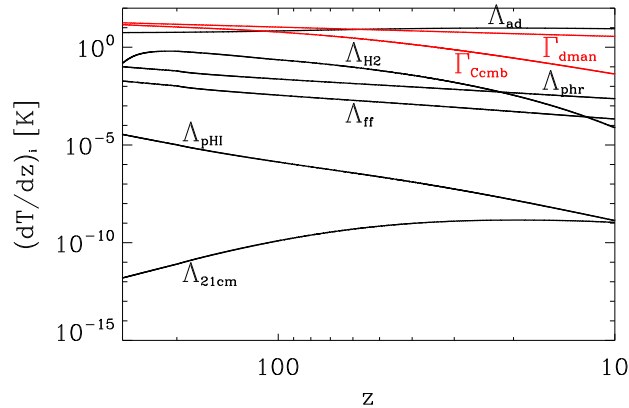


Рис. 6. Функції нагрівання/охолодження у моделі з  $f_{dman}\epsilon_0 = 2 \cdot 10^{-22}$ .

Fig. 6. Heating/cooling functions in the model with  $f_{dman}\epsilon_0 = 2 \cdot 10^{-22}$ .

де  $\epsilon_0$  – безрозмірний параметр самоанігіляції частинок темної матерії,  $f_{dman}$  – це частка від вивільненої енергії, яку абсорбує баріонна матерія,  $g_h = (1 + 2x_{HII} + f_{He}(1 + 2x_{HeII}))/3(1 + f_{He})$  – частка з неї, яка йде на нагрівання газу.

Продукти анігіляції частинок темної матерії з енергією  $c^2 m_{dm} \gg 20$  еВ здатні іонізувати гідроген і гелій. У рамках моделі [59] темп іонізації можна розрахува-

ти таким чином:

$$(1+z)H \frac{dx_{HI}}{dz} \Big|_{dman} = 0.0735 f_{dman} g_{ion}^{(HI)} \frac{\epsilon_0 n_H (1+z)^3}{n_{HI} (1+f_{He})},$$

$$(1+z)H \frac{dx_{HeI}}{dz} = 0.04065 f_{dman} g_{ion}^{(HeI)} \frac{\epsilon_0 n_H f_{He} (1+z)^3}{n_{HeI} (1+f_{He})},$$

де  $g_{ion}^{(HI)} = (1-x_{HII})/3$  і  $g_{ion}^{(HeI)} = (1-x_{HeII})/3$  – це частки виділеної енергії, які йдуть на іонізацію гідрогену і гелію відповідно. Як бачимо,  $g_h \propto g_{ion} \propto 1/3$ , тобто, приблизно третина інжектованої в баріонну компоненту енергії йде на нагрівання, приблизно третина на іонізацію гідрогену та гелію і решта на збудження енергетичних рівнів нейтральних атомів. Оскільки феноменологічна модель [59] не пропонує конкретної моделі частинок темної матерія, яка самоанігілює, то ми оцінимо іонізацію і температуру баріонного газу для різних значень сукупного безрозмірного параметра  $f_{dman}\epsilon_0$ .

Результати наведені на рис. 5. Оскільки швидкість самоанігіляції частинок темної матерії пропорційна квадрату їх концентрації, то вклад в іонізаційну і теплову історію баріонної матерії в епоху Темних віків є помітний для значень сукупного параметра  $f_{dman}\epsilon_0 \geq 10^{-24}$ . Космологічна рекомбінація гідрогену і гелію стає помітно відмінною від стандартної у моделях з  $f_{dman}\epsilon_0 \gtrsim 10^{-22}$ . Температура баріонної компоненти при таких значеннях є більшою температури реліктового випромінювання на  $200 < z < 10$ .

Величина функції нагрівання  $\Gamma_{dman}$  у моделі з  $f_{dman}\epsilon_0 = 2 \cdot 10^{-22}$ , яка наведена на рис. 6, є співмірною з адиабатичним охолодженням і більшою величиною функції нагрівання реліктовим випромінюванням  $\Gamma_{Cmb}$  на  $z < 300$ .

### Г. Модель з розпадною темною матерією

Частинки темної матерії можуть бути розпадними з періодом піврозпаду значно більшим віку Всесвіту. Ключовими параметрами такої моделі є частка темної матерії, частинки якої розпадаються, їх характерний час піврозпаду, а також частки, які йдуть на нагрівання, іонізацію та збудження атомів. Тут ми, як і в попередніх моделях, оцінимо значення параметрів розпадної темної матерії, при яких іонізаційна і теплова історія баріонної матерії в епоху Темних віків відрізняється від стандартної, але не суперечить спостережуваним обмеженням щодо оптичної глибини реіонізації. Для цього використаємо феноменологічну модель розпадної темної матерії [60], згідно якої функцію нагрівання можна представити таким чином

$$\Gamma_{dmd} = 1.69 \cdot 10^{-8} f_{dmd} g_h \left[ \frac{\Omega_{dm} h^2}{0.12} \right] \frac{(1+z)^3}{\tau_{dmd}} \frac{\text{eрг}}{\text{см}^3 \text{с}}, \quad (6)$$

де  $\tau_{dmd}$  - характерний час піврозпаду частинок темної матерії у секундах,  $f_{dmd}$  - це частка вивільненої енергії, яку абсорбує баріонна матерія,  $g_h$  - частка з неї, яка йде на нагрівання газу.

Продукти розпаду частинок темної матерії з енергіями в діапазоні кеВ – ГеВ можуть іонізувати атоми водню і гелію,

$$(1+z)H \frac{dx_{HI}}{dz} = 7.35 \cdot 10^{-2} \frac{g_{ion}^{(HI)}}{g_h} \frac{n_H \Gamma_{dmd}}{n_{HI}(1+f_{He})},$$

$$(1+z)H \frac{dx_{HeI}}{dz} = 4.065 \cdot 10^{-2} \frac{g_{ion}^{(HeI)}}{g_h} \frac{n_H f_{He} \Gamma_{dmd}}{n_{HeI}(1+f_{He})},$$

де частки виділеної енергії, які йдуть на нагрівання та іонізацію водню і гелію,  $g_h$ ,  $g_{ion}^{(HI)}$  і  $g_{ion}^{(HeI)}$ , розраховуємо так само як і у попередньому випадку самоіонізаційної темної матерії.

Результати розрахунків іонізаційної та теплової історії газу від епохи космологічної рекомбінації водню через Темні віки до  $z = 10$  для значень сукупного параметра  $\tau_{dmd}/f_{dmd} \in 5 \cdot 10^{25} - 10^{28}$  с представлено на рис. 7. При значеннях цього параметра більших за  $3 \cdot 10^{28}$  с іонізаційна і теплова історія газу практично невідмінна від історії в стандартній  $\Lambda$ CDM. При значеннях менших за  $10^{25}$  с іонізація водню на  $z \sim 20 - 10$  є вищою за  $2\sigma$  верхню межу, встановлену в експерименті Планк [41].

Еволюція температури газу в цій моделі, представлена на правому рис. 7, суттєво відрізняється від еволюції в інших моделях представлених тут:  $T_b \propto T_{min} + T_c(11 - z)$ . Швидке зростання  $x_e$  і  $T_b > T_{cmb}$  проявляються у зміні характеру функції нагрівання  $\Gamma_{C_{cmb}}$  і  $\Lambda_{21}$ , як це можна бачити на рис. 8. Перша стала функцією охолодження, друга - функцією нагрівання. Це пояснюється тим, що  $\Gamma_{C_{cmb}} \propto (T_{cmb} - T_b)$  і  $\Lambda_{21cm} \propto (n_{HI_0} C_{01} - n_{HI_1} C_{10})$  [47].

### Д. Модель з додатковим охолодженням

Серед інших нестандартних моделей темної матерії розглядають такі, які взаємодіють з баріонною матерією, зумовлюючи її охолодження [31, 61–63]. Для оцінки впливу таких моделей на теплову історію баріонної матерії в епоху Темних віків і їх впливу на формування лінії поглинання в лінії 21 см нейтрального водню на  $z \sim 90$  тут ми розглянемо просту модель охолодження:  $\Lambda_{nSM} = \beta \Lambda_{ad}$ . Результати розрахунків еволюції температури баріонного газу в епоху Темних віків для  $\beta = 0.1, 0.2, \dots 0.6$  представлено на рис. 9. Порівняння з [61] показує, що наша проста феноменологічна модель відтворює хід  $T_b(z)$  у фізичній моделі темної матерії, що взаємодіє з баріонною. Це зумовлює додаткове охолодження газу в епоху Темних віків.

## III. ЛІНІЯ 21 СМ З ЕПОХИ ТЕМНИХ ВІКІВ

Сигнал у лінії 21 см з епохи Темних віків може бути джерелом інформації про іонізаційну та теплову історію баріонної матерії в цю епоху, оскільки інтенсивність лінії залежить від концентрації нейтрального водню та кінетичної температури газу. Оскільки вони визначаються у стандартній  $\Lambda$ CDM моделі залишковою (або загартувальною) іонізацією після космологічної рекомбінації та конкуренцією між адіабатичним охолодженням і нагріванням через комптонівське розсіювання реліктового випромінювання на вільних електронах, то вільними параметрами розв'язків рівнянь (1)–(4) є густина баріонної компоненти  $\Omega_b$ , густина темної матерії  $\Omega_{dm}$  та стала Габбла  $H_0$ . Вимірюванням такого сигналу можна уточнити значення цих параметрів. У нестандартних космологічних моделях з додатковим нагріванням та іонізацією, чи охолодженням, як ми бачили теплової та іонізаційної історії можуть помітно відрізнятися від такої в  $\Lambda$ CDM моделі навіть якщо параметри цих моделей не виходять за межі сучасних обмежень на них. Отже, вимірювання сигналу в лінії 21 см з епохи Темних віків може бути додатковим тестом на такі космологічні моделі.

При  $z < 850$  адіабатичне охолодження переважає нагрівання, зумовлене комптонівським розсіюванням реліктового випромінювання на вільних електронах, і кінетична температура газу падає швидше, ніж температура реліктового випромінювання. Спінова температура  $T_s$ , яка визначає населеність рівнів надтонкої структури водню в епоху Темних віків, визначається процесами збудження та деактивації квантами реліктового випромінювання та зіткненнями з електронами, протонами та нейтральними атомами водню (див. детальніше [18]), добре описується спів-

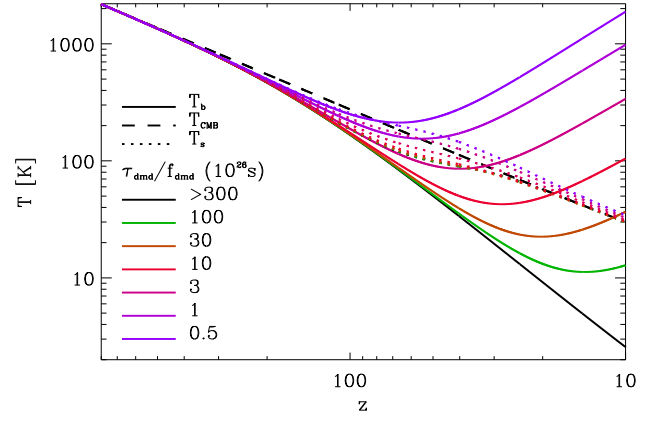
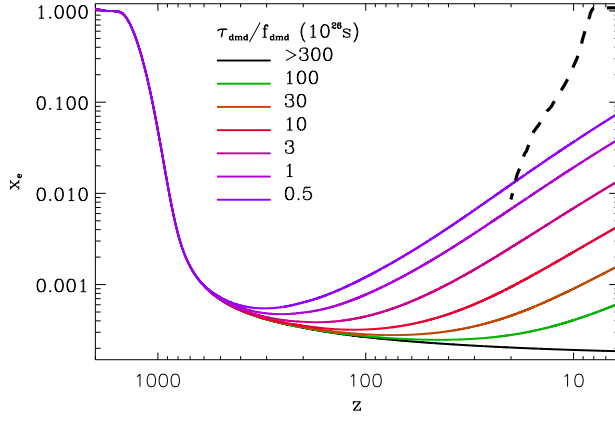


Рис. 7. Залежність фракції іонізованого гідрогену (зліва) і температури баріонної матерії (справа) від червоного зміщення в моделях з розпадною темною матерією з різними значеннями сукупного параметра  $\tau_{dmd}/f_{dmd}$ , які зменшуються для ліній знизу вгору. Штрихова лінія на графіку зліва – те саме, що й на рис. 3.

Fig. 7. Dependence of ionized hydrogen fraction (left) and baryonic matter temperature (right) on redshift in the models with decaying dark matter with different values of the collective parameter  $\tau_{dmd}/f_{dmd}$ , which decrease for lines from bottom to top. The dashed line in the left panel is the same as in fig. 3.

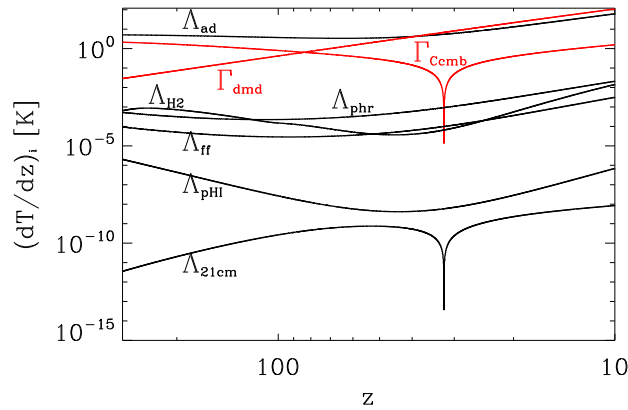


Рис. 8. Функції нагрівання/охолодження у моделі з  $\tau_{dmd}/f_{dmd} = 3 \cdot 10^{26}$  с.

Fig. 8. Heating/cooling functions in the model with  $\tau_{dmd}/f_{dmd} = 3 \cdot 10^{26}$  с.

відношенням

$$T_s = T_b \frac{T_{cmb} + T_0}{T_b + T_0} = \frac{(1 + x_c)T_{cmb}}{T_b + x_c T_{cmb}}, \quad (7)$$

яке отримується за умови квазістаціонарності відповідного кінетичного рівняння. Тут  $x_c \equiv T_0/T_{cmb}$  – параметр зв'язку, зумовлений зіткненнями,  $\nu_{21}$  – лабораторна частота лінії 21 см,  $A_{10}$  – коефіцієнт спонтанного переходу Айнштейна,  $C_{10}$  – швидкість деактивації зіткнення електронами, протонами та нейтральними атомами гідрогену,  $T_0 = h_P \nu_{21} C_{10} / k_B A_{10}$ , де  $h_P$  – стала Планка. На рисунках 1, 3, 5, 7, 9 точковими лініями представлені результати розрахунків спінової

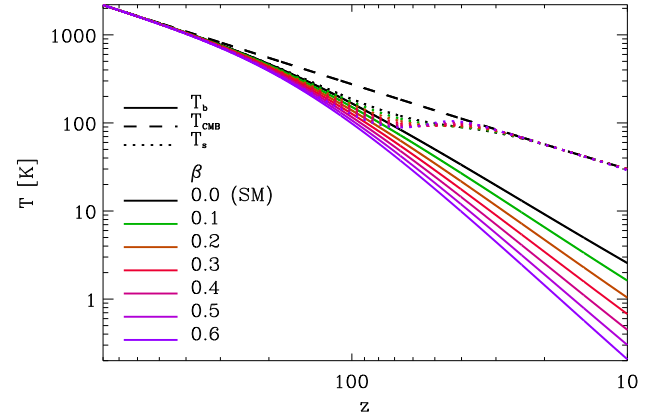


Рис. 9. Залежність температури баріонної матерії від червоного зміщення в моделях з додатковим охолодженням з різними значеннями  $\beta$ , яке зростає для ліній зверху вниз. Fig. 9. Baryonic matter temperature versus redshift in the models with additional cooling with different values of  $\beta$ , which increases for lines from top to bottom.

температури у моделях, які ми аналізуємо тут.

Оскільки частота лінії надтонкої структури  $\nu_{21}$  знаходиться в діапазоні Релея-Джинса енергетичного розподілу реліктового випромінювання, зручно використовувати яскравісну температуру  $T_{br}$  замість інтенсивності:  $I_\nu = 2k_B T_{br} \nu^2 / c^2$ . При цьому корисним сигналом є різниця інтенсивностей фонового реліктового випромінювання та випромінювання в лінії  $\delta I_\nu = (I_\nu - I_\nu^{cmb}) / (1 + z)$  і вираз для диференціальної яскравісної температури в лінії 21 см, який отримується розв'язанням рівняння перенесення випромінювання,

є наступним [7, 9, 64, 65]:

$$\delta T_{br}(z) = 23x_{HI}(z) \left[ \left( \frac{0.15}{\Omega_m} \right) \left( \frac{1+z}{10} \right) \right]^{\frac{1}{2}} \times \left[ \frac{\Omega_b h}{0.02} \right] \left[ 1 - \frac{T_{cmb}(z)}{T_s(z)} \right] \text{ мК.} \quad (8)$$

Як бачимо, диференціальна яскравісна температура пропорційна різниці  $T_s - T_{cmb}$ : при  $T_s < T_{cmb}$  матимемо лінію поглинання, при  $T_s > T_{cmb}$  – емісійну лінію. Лінія щезає, коли  $T_s \rightarrow T_{cmb}$ .

### А. Стандартна $\Lambda$ CDM модель

Для оцінки можливостей уточнення значень космологічних параметрів стандартної  $\Lambda$ CDM моделі на основі вимірювань диференціальної яскравісної температури з епохи Темних віків ми розрахували її для різних значень  $\Omega_b$  і  $\Omega_{dm}$  у  $3\sigma$ -межах за умови виконання рівняння (4) для сучасної епохи,

$$\Omega_b + \Omega_{dm} + \Omega_K + \Omega_\Lambda = 1, \quad (9)$$

а також різних значень  $H_0$  в околі значень, отриманих на основі вимірювань спектра потужності флюктуацій температури і поляризації реліктового випромінювання [41] та тесту видима зоряна величина - червоне зміщення для наднових типу Ia [4]. Результати розрахунків представлені на рис. 10 і 11. Залежність положення лінії, глибини та ефективної ширини від цих параметрів крім очевидної із співвідношення (8) відбувається через залежність від них  $x_{HI}$ . Оскільки стан баріонної матерії практично не чутливий до варіацій  $\Omega_K$  і  $\Omega_\Lambda$ , то для виконання (9) при варіюванні  $\Omega_b$  і  $\Omega_{dm}$  відносно значень реперної моделі будемо варіювати  $\delta\Omega_\Lambda = -\delta\Omega_b$  та  $\delta\Omega_\Lambda = -\delta\Omega_{dm}$  відповідно.

Як бачимо на рис. 10 і 11, варіювання  $\Omega_b$ ,  $\Omega_{dm}$  та  $H_0$  змінюють глибину та ширину  $z$ -профілю лінії. Збільшення  $\Omega_b$  збільшує глибину лінії поглинання (зменшує  $\delta T_{br}^{min}$ ) через більшу щільність поглиначів квантів реліктового випромінювання та більшу ефективність зіткнювальних процесів у деактивації верхнього рівня надтонкої структури атома водню, що наближає спінову температуру  $T_s$  до  $T_b$ . І навпаки, збільшення  $\Omega_{dm}$  зменшує глибину лінії через збільшення темпу розширення Всесвіту в епоху Темних віків,  $(z) \sim \sqrt{(\Omega_b + \Omega_{dm})(1+z)^3}$ . Варіація лінії  $z$ -профілю внаслідок варіації сталої Габбла  $H_0$  показана рис. 11: збільшення  $H_0$  збільшує глибину лінії, оскільки концентрація нейтральних атомів водню  $\propto H_0^2$ . У всіх випадках мінімуми знаходяться в діапазоні червоних зміщень  $86 \leq z \leq 88$  ( $\sim 16.1 \pm 0.2$ ) МГц.  $2\sigma$  відхилення цих параметрів від реперних складають 4.5% для  $\Omega_b$ , 5.2% для  $\Omega_{dm}$  та 1.6% для  $H_0$ . Варіації глибини лінії поглинання 21 см для них становлять 8.2%, 2.5% та 4.3% відповідно. Повна ширина лінії на половині максимуму для моделей на рис. 10 і 11 є у межах 23.2–23.6 МГц.

### Б. Нестандартні космологічні моделі

Результати розрахунків, які представлені у попередньому параграфі, демонструють значну зміну іонізації водню та температури баріонного газу в епоху Темних віків у нестандартних космологічних моделях з первинним магнітним полем, з самоанігіляційною темною матерією, з розпадною темною матерією та в моделі з додатковим охолодженням. Оскільки іонізація і нагрівання світлом перших джерел в епоху Космічного світанку та реіонізації зазирає попередню іонізаційну та теплову історію, то сигнал в лінії 21 см нейтрального водню може бути єдиним джерелом інформації про такі моделі при підпорогових значеннях сигналів інших свідчень, таких як реєстрація продуктів самоанігіляції, розпаду, інших прямих чи непрямих проявів.

На рис. 12 представлені результати розрахунків диференціальної яскравісної температури в лінії 21 см нейтрального водню з епохи Темних віків ( $10 \leq z \leq 800$ ,  $1.8 \leq \nu_{obs} \leq 130$  МГц) для усіх нестандартних моделей, для яких розрахована іонізаційна та теплова історія у попередньому параграфі. Як бачимо, у космологічних моделях з додатковим нагріванням чи охолодженням профіль лінії 21 см нейтрального водню суттєво відрізняється від профілю у стандартній  $\Lambda$ CDM.

#### 1. Первісне магнітне поле

Із зростанням  $B_0$  глибина лінії поглинання зменшується, щезає і переходить в емісійну лінію (ліва панель у верхньому ряду рис. 12). Перехід відбувається при  $B_0 \approx 0.3$  нГс шляхом появи малого емісійного “горба”  $\delta T_{br} \approx 2$  мК у низькочастотному крилі лінії поглинання на  $z \approx 390$ , що відповідає  $\nu_{obs} \approx 3.6$  МГц. Її ширина на половині максимуму складає  $\Delta\nu_{obs} \approx 3.8$  МГц. Положення лінії поглинання у цій моделі магнітного поля змістилося в сторону більших частот  $\nu_{obs} \approx 20$  МГц ( $z \approx 72$ ), глибина зменшилась до  $\approx -8$  мК, ширина на половині максимуму  $\Delta\nu_{obs} \approx 28$  МГц. При більших значеннях  $B_0$  лінія поглинання щезає у високочастотному крилі, а лінія випромінювання зміщується в сторону більших частот, зростає її амплітуда і ширина. При  $B_0 = 0.6$  нГс її максимум  $\delta T_{br} \approx 30$  мК є на частоті 8.3 МГц ( $z \approx 170$ ), ширина на половині максимуму  $\Delta\nu_{obs} \approx 16$  МГц.

#### 2. Самоанігіляційна темна матерія

Поведінка профілю лінії 21 см у моделях з самоанігіляційною темною матерією (права панель у верхньому ряду рис. 12) із зростанням значення сукупного параметра  $f_{dman}\epsilon_0$  якісно подібна до поведінки у моделях з первісними магнітними полями: поява “горба” у низькочастотному крилі лінії, щезання поглинання у

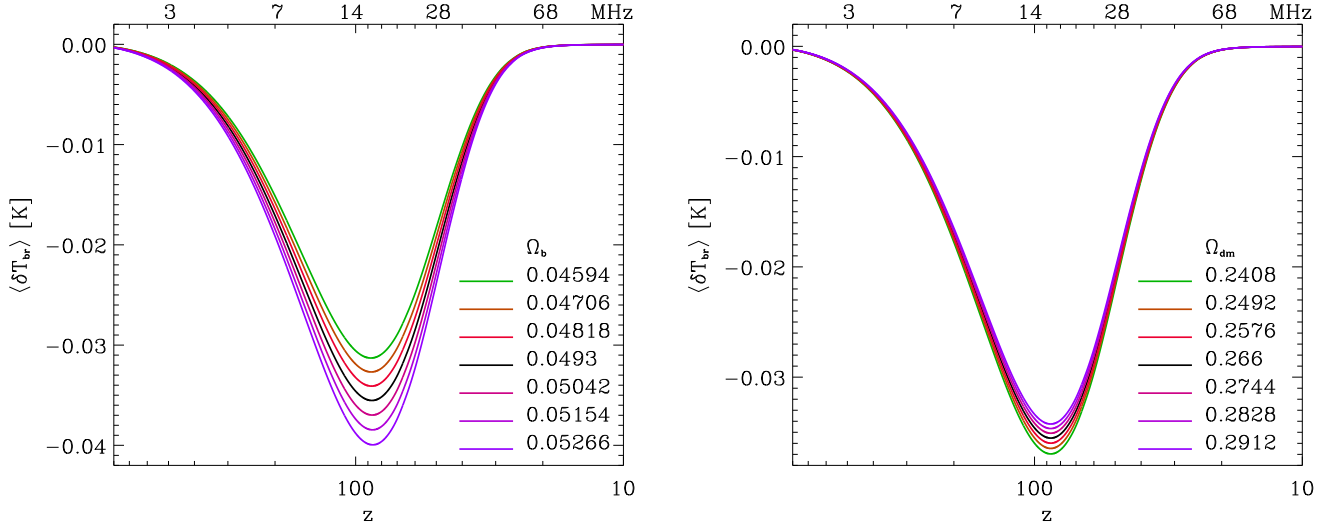


Рис. 10. Лінія поглинання 21 см нейтрального гідрогену з епохи Темних віків у стандартній  $\Lambda$ CDM моделі з різними значеннями  $\Omega_b = 0.0493 \pm 1\sigma, \pm 2\sigma, \pm 3\sigma$  (зліва) та  $\Omega_{dm} = 0.266 \pm 1\sigma, \pm 2\sigma, \pm 3\sigma$  (справа).  
 Fig. 10. Absorption line of 21 cm neutral hydrogen from the Dark Ages in the standard  $\Lambda$ CDM model with different values of  $\Omega_b = 0.0493 \pm 1\sigma, \pm 2\sigma, \pm 3\sigma$  (left) and  $\Omega_{dm} = 0.266 \pm 1\sigma, \pm 2\sigma, \pm 3\sigma$  (right).

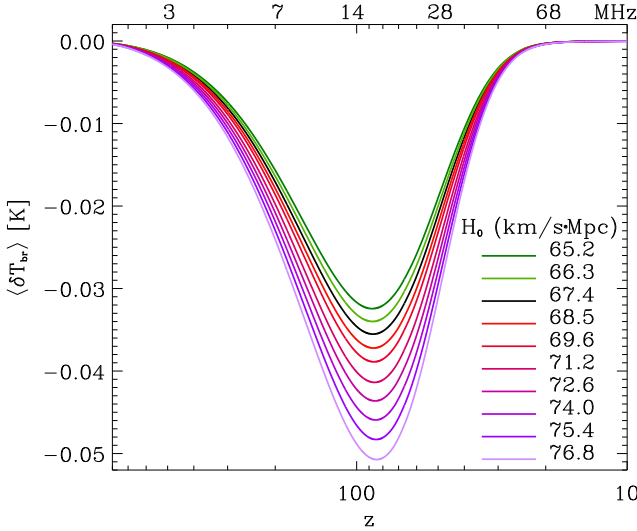


Рис. 11. Лінія поглинання 21 см нейтрального гідрогену з епохи Темних віків у стандартній  $\Lambda$ CDM моделі з різними значеннями  $H_0 = 67.36 \pm 1\sigma, \pm 2\sigma$  км/с·Мпк та  $H_0 = 74 \pm 1\sigma, \pm 2\sigma$  км/с·Мпк.  
 Fig. 11. The absorption line of 21 cm neutral hydrogen from the Dark Ages in the standard  $\Lambda$ CDM model with different values of  $H_0 = 67.36 \pm 1\sigma, \pm 2\sigma$  км/с·Мпк and  $H_0 = 74 \pm 1\sigma, \pm 2\sigma$  км/с·Мпк.

високочастотному. У цьому випадку емісійний “горб” стає помітним при  $f_{dman}\epsilon_0 \approx 5 \cdot 10^{-23}$ : його амплітуда  $\delta T_{br} \approx 2.5$  мК на  $\nu_{obs} \approx 11$  МГц ( $z = 128$ ), ширина на половині максимуму  $\Delta\nu_{obs} \approx 21$  МГц. При більших

значеннях  $f_{dman}\epsilon_0$  лінія поглинання щезає у високо-частотному крилі, а лінія випромінювання зміщується в сторону більших частот, зростає її амплітуда і ширина. При  $f_{dman}\epsilon_0 \approx 2 \cdot 10^{-22}$  її амплітуда  $\delta T_{br} \approx 13$  мК є на частоті 16 МГц ( $z \approx 88$ ), ширина на половині максимуму  $\Delta\nu_{obs} \approx 34$  МГц.

Більші значення сукупного параметра, як видно з рис. 5, обмежені даними щодо поляризації реліктового випромінювання на низьких сферичних гармоніках, отриманими в експерименті Планк [41]. Хоч якісно поведінка профілю у моделі із самоаніглюючою темною матерією така ж як і в моделі з первісним магнітним полем, за кількісними характеристиками профілів лінії 21 см вони є розрізнюваними при верхніх допустимих значеннях  $B_0$  та  $f_{dman}\epsilon_0$ .

### 3. Розпадна темна матерія

У моделях з розпадними частинками темної матерії іонізаційна і тепла історія значною мірою відрізняються від таких історій в інших моделях, які розглянуті у цій роботі. Слід очікувати, що профілі лінії 21 см з Темних віків будуть також особливими, що і ілюструє ліва панель у нижньому ряду рис. 12. Емісійний “горб” у цій моделі з’являється у високо-частотному крилі лінії 21 см на  $z \approx 25$  ( $\nu_{obs} \approx 55$  МГц), коли  $\tau_{dmd}/f_{dmd} \approx 3 \cdot 10^{26}$  с. Його амплітуда  $\delta T_{br} \approx 2$  мК, повна ширина на половині максимуму  $\Delta\nu_{obs} \approx 8$  МГц. Глибокий абсорбційний мінімум у цій моделі  $\delta T_{br} \approx -25$  мК є у низько-частотному крилі лінії на  $\nu_{obs} \approx 13.7$  МГц ( $z \approx 103$ ). Із зменшенням характерного часу піврозпаду чи зростання частки розпа-

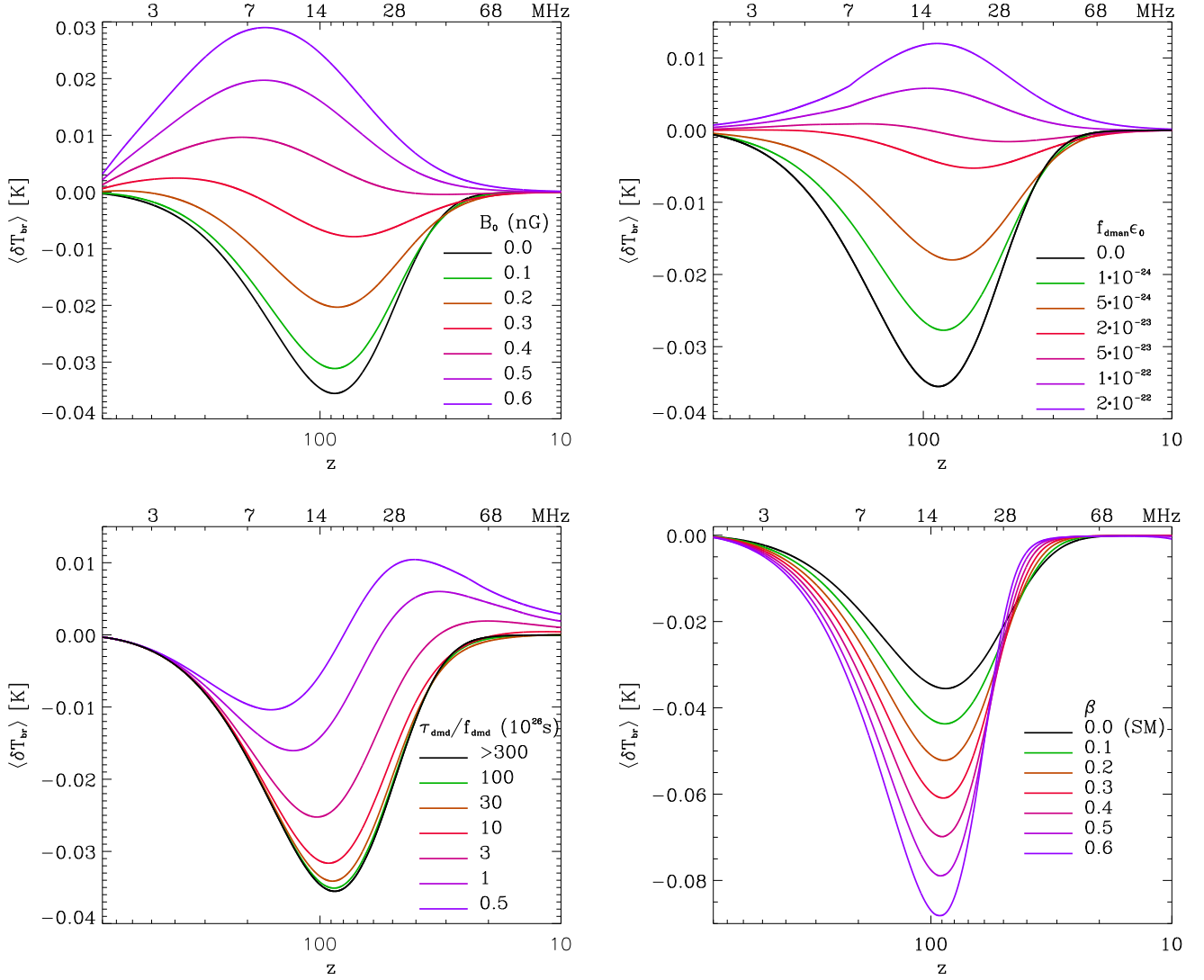


Рис. 12. Лінія поглинання 21 см нейтрального гідрогену з епохи Темних віків у нестандартних моделях з первинним магнітним полем (зліва вверху), самоанігілюючою темною матерією (справа вверху), з розпадною темною матерією (зліва внизу) та в моделі з додатковим охолодженням. Параметри моделей ті ж, що на відповідних рисунках попереднього параграфа.

Fig. 12. Absorption line 21 cm neutral hydrogen from the Dark Ages in non-standard models with a primordial magnetic fields (top left), self-annihilating dark matter (top right), with decaying dark matter (bottom left), and in a model with additional cooling. Model parameters are the same as in the corresponding figures of the previous paragraph.

дних частинок темної матерії, тобто зменшенням сукупного параметра  $\tau_{dmd}/f_{dmd}$  до  $5 \cdot 10^{25}$  с амплітуда емісійного “горба” зростає до 10 мК, зміщується у сторону нижчих частот до 34 МГц ( $z \approx 41$ ), його повна ширина на половині максимуму  $\Delta\nu_{obs}$  складає  $\approx 35$  МГц. Абсорбційний мінімум у низькочастотному крилі лінії зменшується до -10 мК, зміщується на  $\nu_{obs} \approx 9$  МГц, а повна ширина на половині максимуму зменшується до 10 МГц.

Така відмінність профілю лінії 21 см у цій моделі від профілю у попередніх зумовлена темпом виділення енергії у відповідних процесах:  $\propto (1+z)^4$  у випадку

первісного магнітного поля,  $\propto (1+z)^6$  у випадку самоанігілюючої темної матерії і  $\propto (1+z)^3$  у випадку розпадної темної матерії, що описують відповідні функції нагрівання, представлені у розділі II.

#### 4. Додаткове охолодження

Лінія поглинання 21 см з епохи Темних віків може бути також ефективним тестом моделей з додатковим охолодженням. Таким може бути розсіювання електронів на мілізаряджених частинках темної мате-

рії [61–63]. Реннан Баркана [31] використав таку модель для інтерпретації аномально глибокого мінімуму лінії поглинання 21 см на  $z \approx 17$ , зареєстрованої командою EDGES [30]. Теплова історія баріонного газу у простій феноменологічній моделі з різною величиною додаткового охолодження представлена на рис. 9. Профілі лінії 21 см з епохи Темних віків для них представлені на правій панелі нижнього ряду рис. 12. Як і очікувалось, із збільшенням функції додаткового охолодження пропорційного адіабатичному охолодженню газу внаслідок розширення Всесвіту  $\Lambda_{nSM} = \beta \Lambda_{ad}$  при  $\beta = 0, 0.1, \dots 0.6$ , глибина лінії поглинання зростає від  $-36$  мК до  $-88$  мК. Її положення зміщується від  $z \approx 87$  ( $\nu_{obs} \approx 16$  МГц) до  $z \approx 92$  ( $\nu_{obs} \approx 15$  МГц), ширина на половині максимуму зменшується від  $23.3$  МГц до  $16.6$  МГц. Депресія у короткохвильовому крилі лінії зумовлена швидкою втратою ефективності ударного збудження рівня надтонкої структури водню внаслідок космологічного розширення (точкова лінія на рис. 9).

Ці результати можна порівняти з аналогічними в [31]. Суцільна червона лінія на рис. 2 із статті [31] приблизно відповідає найбільш ймовірному спостережуваному значенню пікового поглинання в епоху Космічного світанку, зареєстрованого EDGES [30]. Вона вказує на мінімальне поглинання в епоху Темних віків  $\approx -67$  мК на частоті  $\approx 17$  МГц. У нашій моделі це відповідає  $\beta \approx 0.4$ .

Результати, представлені на рис. 10–12, показують, що лінія надтонкої структури основного стану нейтрального водню 21 см, яка формується в епоху Темних віків на  $z \sim 80 - 100$ , може бути ефективним тестом космологічних моделей. Питання можливостей її детектування залишається поки що відкритим.

#### IV. МОЖЛИВОСТІ ДЕТЕКТУВАННЯ ЛІНІЇ 21 СМ З ЕПОХИ ТЕМНИХ ВІКІВ

З викладеного вище випливає, що для детектування глобального сигналу в лінії 21 см надтонкої структури нейтрального водню з епохи Темних віків необхідні радіотелескопи декаметрового діапазону довжин хвиль:  $\nu = 3 - 30$  МГц ( $\lambda = 10 - 100$  м). Найбільший у світі діючий у цьому діапазоні частот радіотелескоп знаходиться в Україні – це Український Т-подібний радіотелескоп УТР-2<sup>5</sup>, який створений фахівцями Радіоастрономічного інститут НАН України поблизу м. Чугуєва Харківської області. Його колектив має понад півстолітній досвід спостережень, обробки та інтерпретації випромінювання від небесних об’єктів різної природи в декаметровому діапазоні довжин хвиль, складному для спостережень з Землі через високий

рівень завад як галактичного, так і іоносферного та штучного походження. У цьому розділі ми подаємо стислий виклад аналізу можливостей детектування лінії 21 см з епохи Темних віків на основі технічних характеристик УТР-2 та досвіду наукової школи Радіоастрономічного інституту. Повний виклад аналізу цієї складної задачі можна знайти у супутній статті [66].

Для формування вимог до експериментального пошуку зміщеної лінії 21 см водню необхідно ретельно врахувати особливості радіоастрономії декаметрових хвиль як з точки зору астрофізики, так і апаратно-методичних аспектів. Одним із головних параметрів кожного радіотелескопа є його чутливість. Вона визначається співвідношенням

$$\Delta S_{min} = \frac{2k_B T_{noise}}{A_{ef} \sqrt{\Delta f \Delta t}} \left( 1 + \frac{T_N}{T_a} \right) \text{ Ян}, \quad (10)$$

де  $\Delta S_{min}$  – мінімальна густина потоку електромагнітного випромінювання, що задетектована від радіоджерела,  $T_{noise}$  – шумова температура системи,  $A_{ef}$  – ефективна площа радіотелескопа,  $\Delta f$  – частотна смуга реєстрації (роздільна здатність за частотою),  $\Delta t$  – час інтегрування або накопичення (роздільна здатність за часом),  $T_N$  – шумова температура приймача,  $T_a$  – антенна температура (потужність радіосигналу від галактичного фону) на виході антени або антенного елемента. Останню розраховують так:  $T_a = \eta_A T_B$ , де  $\eta_A$  – це частотно-залежне ослаблення сигналу, а  $T_B$  – яскравісна температура переднього фону. На декаметрових хвилях шумова температура системи визначається в основному яскравісною температурою галактичного фону,  $T_{noise} \approx T_B(\nu)$ , яка досягає десятків та сотень тисяч К в залежності від частоти. В діапазоні частот, який нас цікавить, це синхротронне випромінювання міжзоряного середовища з  $T_B(\nu) \propto \nu^{-2.6}$ .

Співвідношення (10) справедливе для точкових радіоджерел з кутовими розмірами меншими за ширину діаграми спрямованості радіотелескопа. Для випадків протяжних або ізотропних радіоджерел, яким є глобальний сигнал у лінії 21 см водню з Темних віків, можна скористатись виразом для мінімальної яскравісної температури, яку можна задетектувати в смузі частот  $\Delta f$  за час інтегрування  $\Delta t$

$$\Delta T_{min} = \frac{T_B}{\sqrt{\Delta f \Delta t}} \left( 1 + \frac{T_N}{T_a} \right). \quad (11)$$

Ще однією характеристикою радіотелескопів є коефіцієнт зменшення чутливості  $m \equiv T_a/(T_a + T_N)$ , максимізація якого є важливою складовою будь-якого експерименту. Для українських телескопів він досягає  $\approx 0.9$ . Вираз (11) дає змогу отримати оцінку необхідного часу накопичення сигналу для отримання мінімальної яскравісної температури  $T_{min}$ , необхідної для детектування сигналу:  $\Delta T_{min} \approx \delta T_{br}/(S/N)$ , де відношення сигнал/шум покладаємо рівним  $S/N = 10$ . На основі карти радіовипромінювання галактичного

<sup>5</sup> Діючий до 24 лютого 2022 року, зруйнований російськими військами під час звільнення Харківщини восени того ж року. У даний час на ньому ведуться відновлювальні роботи.

фону на частоті 20 МГц, наведеної в [66] (рис. 9), можна оцінити температуру “найхолодніших” ділянок неба в областях полюсів Галактики на заданій частоті:  $T_B(\nu) \approx 2 \cdot 10^4 (\nu/20 \text{ МГц})^{-2.6}$  К. Для лінії поглинання з яскравісною температурою  $\delta T_{br} = 35$  мК на частоті  $\nu_{obs} = 16$  МГц, де  $T_B \approx 36000$  К, при спостереженнях у смузі частот  $\Delta f = \Delta \nu = 25$  МГц у “найхолодніших” ділянках неба в областях полюсів Галактики отримуємо  $\approx 60$  дБ. Цей оптимістичний результат оцінки є підставою для глибшого аналізу можливостей детектування лінії 21 см нейтрального водню з епохи Темних віків.

Виходячи із радіоспектроскопічних вимог та досвіду реєстрації рекомбінаційних ліній радіотелескопом УТР-2 на декаметрових хвилях [66] для лінії з наведеними параметрами можна сформулювати вимоги для її детектування: смуга аналізу  $\Delta F = (2 - 10)\Delta\nu_L \approx 50 - 250$  МГц; роздільна здатність за частотою  $\Delta f = \Delta\nu_{obs}/(1 - 10) \approx 25 - 2.5$  МГц; кількість частотних каналів  $M = \Delta F/\Delta f_{min} = 20 - 100$ ; частота дискретизації  $F \geq 2\Delta F = 100 - 500$  МГц; розрядність дискретизації  $q = 16$  біт; роздільна здатність з точки зору радіозавад та рекомбінаційних ліній  $\Delta f_{int} = 1 - 10$  кГц; кількість каналів  $M_{int} = 5000 - 25000$ ; кутова роздільна здатність  $\Theta_A = 30^\circ - 180^\circ$ ; поляризація  $N_p = 2$ ; відносна чутливість  $\Delta T_L/T_B \approx 10^{-6}$ ; відношення сигнал/шум  $S/N \rightarrow 10$ ; рівень флуктуацій на спектрах  $\tau \leq (\Delta T_L/T_B)/(S/N) = 10^{-7}$ ; роздільна здатність за часом не потрібна (ефект стаціонарний); тип спектроаналізатора – а) цифровий автокореляційний; б) цифровий із прямим швидким Фур’є перетворенням.

Цим вимогам задовільняє радіотелескоп Радіоастрономічного інституту НАН України ГУРТ із смугою 8-80 МГц.

Прокоментуємо та звернемо увагу на деякі важливі вимоги до експерименту в галузі низькочастотної астрорадіоспектроскопії. Смуга аналізу повинна бути у декілька разів більшою, ніж ширина лінії. Це забезпечує реалізацію відносних спектроскопічних вимірювань, які набагато точніші, ніж абсолютні. Інтенсивність в лінії порівнюється з сусіднім рівнем спектру, де ліній завідомо немає. Оцінки показують, що досягнути значно ширшої смуги при збереженні максимальних чутливості  $m \sim 0.9$  та завадостійкості практично неможливо<sup>6</sup>. Роздільна здатність повинна бути у декілька разів кращою, ніж ширина лінії з метою з’ясування профілю лінії (кількість каналів декілька десятків). У присутності вузькосмугових радіозавад, що наявні в декаметровому діапазоні довжин хвиль, роздільна здатність повинна бути досить високою ( $\leq 10$  кГц), а кількість каналів досягати багатьох тисяч. Протиріччя двох останніх вимог погоджується використанням вищої роздільної здатності на етапі спостережень, а під час вторинної обробки

отриманих спектрів із завадами і рекомбінаційними лініями останні усуваються шляхом спеціальної цифрової фільтрації, а потім самі спектри “згладжуються” за частотою і відповідно до очікуваної ширини космологічних ліній.

Детальний опис природних і апаратних завад при реєстрації позагалактичного радіовипромінювання декаметрового діапазону довжин хвиль та способи їх усунення викладені у супутній статті [66]. Там же описана методика спостережень на радіотелескопі ГУРТ НАН України з метою реєстрації лінії 21 см з Темних віків.

## V. ВИСНОВКИ

У роботі показано, що глобальний сигнал в лінії надтонкої структури основного стану нейтрального водню 21 см з епохи Темних віків ( $z \sim 100$ ), зміщеної у декаметровий діапазон довжин хвиль розширенням Всесвіту, може бути ефективним тестом параметрів стандартної  $\Lambda$ CDM моделі та космологічних моделей з додатковими механізмами нагрівання/охолодження. Для цього розраховано еволюцію глобальної (усередненої по небу) диференційної яскравісної температури в цій лінії в стандартній і нестандартній космологічних моделях з різними параметрами.

Стандартна  $\Lambda$ CDM модель з постпланківськими параметрами передбачає значення диференційної яскравісної температури в центрі лінії поглинання  $\delta T_{br} \approx 35$  мК на  $z \approx 87$ . Частота лінії в максимумі поглинання  $\approx 16$  МГц, ефективна ширина лінії  $\approx 25$  МГц. Глибина лінії помірно чутлива до  $\Omega_b$  і  $H_0$ , слабо чутлива до  $\Omega_{dm}$  і нечутлива до інших параметрів стандартної  $\Lambda$ CDM моделі.

Наявність у міжгалактичному просторі первісних магнітних полів впливає із спостережень випромінювання блазарів в TeV і GeV діапазонах енергії, які дають нижню межу значення індукції такого поля:  $B_0 \simeq 10^{-20}$  Гс [52, 53]. Верхня 95% межа отримана з комплексних вимірювань флуктуацій температури і поляризації реліктового випромінювання КО “Планк”:  $B_0 \simeq 0.9$  нГс. Ми проаналізували вплив таких полів на теплову історію Всесвіту в епоху Темних віків внаслідок розпаду турбулентності та амбіполярної дифузії і показали, що поля з  $B_0 \geq 0.1$  нГс уже помітно зменшують глибину лінії поглинання 21 см стандартної  $\Lambda$ CDM моделі. При  $B_0 \sim 0.3$  нГс лінія поглинання переходить в емісійну в низькочастотному крилі лінії поглинання. Її амплітуда зростає  $\propto B_0^{3 \pm 4}$ . У досліджених моделях амплітуда лінії поглинання-випромінювання є у межах -31–29 мК, положення на частоті 16–8 МГц, ширина на половині максимуму 23–21 МГц. Таким чином глобальний сигнал в лінії 21 см може вказати на значення  $B_0$  первісних магнітних полів в діапазоні 0.1–0.9 нГс, або понизити верхню межу на них.

Природнім розширенням  $\Lambda$ CDM моделі є припущення

<sup>6</sup> Антенні елементи на зворотному боці Місяця у майбутньому покращать ситуацію.

ння про різноманітність фізичних властивостей частинок темної матерії. Серед них можуть бути як такі, що самоанігілюють, розпадаються та приймають участь у значно послабленій кулонівській взаємодії із електронами чи протонами.

Енергія, інжектвана у баріонну компоненту згідно моделі із самоанігіляційною темною матерією, йде на нагрівання, іонізацію і збудження атомів гідрогену і гелію. Тому значення сукупного параметра<sup>7</sup> такої моделі темної матерії обмежується даними щодо космологічної рекомбінації та оптичної глибини реіонізації. У діапазоні його значень  $10^{-24} \leq f_{dman}\epsilon_0 \leq 2 \cdot 10^{-22}$  таку темну матерію можна виявити за впливом на параметри лінії 21 см з епохи Темних віків: глибини/висоту та ширину абсорбційного/емісійного провалу/піка. У досліджених моделях амплітуда лінії поглинання-випромінювання є у межах -38–12 мК, положення на частоті 18–16 МГц, ширина на половині максимуму 24–34 МГц.

Модель з розпадною темною матерією, продукти розпаду якої нагрівають та іонізують баріонну компоненту, проявляється впливом на профіль лінії 21 см при значеннях сукупного параметра (відношення тривалості характерного часу розпаду до частки розпадної темної матерії)  $\tau_{dmd}/f_{dmd} < 3 \cdot 10^{28}$  с. При його значеннях  $< 3 \cdot 10^{26}$  с іонізація стає більшою  $2\sigma$  межі на  $z \sim 20$ , отриманої колаборацією Планк [41]. Модель виділяється характерною асиметрією профіля лінії: поглинанням у низькочастотному крилі лінії та емісією у високочастотному. У досліджених моделях амплітуда лінії поглинання є у межах -10–35 мК,

положення на частоті 9–16 МГц, ширина на половині максимуму 10–23 МГц. Амплітуда лінії випромінювання є у межах 2–10 мК, положення на частоті 34–55 МГц, ширина на половині максимуму 8–35 МГц.

Модель з додатковим охолодженням передбачає тим більшу глибину лінії, чим більше значення функції охолодження на  $z \sim 100$ . Якщо воно складає 60% від адіабатичного охолодження, то глибина лінії поглинання складає -88 мК на частоті 15.3 МГц. У нашій моделі, що близька до найбільш оптимальної з роботи [31], яка пояснює лінію поглинання на частоті  $\approx 78$  МГц [30] розсіюванням електронів на мілізаряджених частинках темної матерії, глибина лінії  $\approx 70$  мК на частоті  $\approx 16$  МГц.

Аналіз можливостей детектування глобального сигналу в лінії 21 см з Темних віків за допомогою вітчизняних радіотелескопів декаметрового діапазону довжин хвиль УТР-2 та ГУРТ доводить перспективність постановки і реалізації такої спостережної задачі.

### ПОДЯКИ

Робота виконана у рамках проекту Міністерства освіти і науки України «Моделювання світності елементів великомасштабної структури раннього Всесвіту та залишки галактичних наднових зірок та спостереження змінних зірок» (номер державної реєстрації 0122U001834) та за підтримки Міжнародного центру науки майбутнього та Фізичного коледжу Цзілінського університету (КНР). Праця над нею була можливою завдяки стійкості та мужності Збройних Сил України, які протистоять неспровокованій агресії росії проти України.

- 
- [1] B.E. Robertson et al., *Nature Astronomy* **7**, 611 (2023); 10.1038/s41550-023-01921-1
- [2] E. Curtis-Lake. Four metal-poor galaxies spectroscopically confirmed beyond redshift ten. Submitted to *Nature Astronomy*.
- [3] L. Verde, T. Treu, A.G. Riess, *Nature Astronomy* **3**, 891 (2019); 10.1038/s41550-019-0902-0
- [4] A.G. Riess et al., *Astrophys. J. Lett.* **934**, id. 7 (2022); 10.3847/2041-8213/ac5c5b
- [5] R. Barkana, A. Loeb, *Phys. Rep.* **349**, is. 125 (2001); 10.1016/S0370-1573(01)00019-9
- [6] X. Fan, C.L. Carilli, B. Keating, *Ann. Rev. Astron. Astrophys.* **44**, 415 (2006); 10.1146/annurev.astro.44.051905.092514
- [7] S.R. Furlanetto, S.P. Oh, F.H. Briggs, *Phys. Rep.* **433**, 181 (2006); 10.1016/j.physrep.2006.08.002
- [8] V. Bromm, N. Yoshida, *Ann. Rev. Astron. Astrophys.* **49**, 373 (2011); 10.1146/annurev-astro-081710-102608
- [9] J.R. Pritchard, A. Loeb, *Rep. Prog. Phys.* **75**, id. 086901 (2012); 10.1088/0034-4885/75/8/086901
- [10] A. Natarajan and N. Yoshida, *Prog. Theor. Exp. Phys.*, **2014**, id. 06B112 (2014); 10.1093/ptep/ptu067
- [11] H. Shimabukuro, K. Hasegawa, A. Kuchinomachi, H. Yajima, S. Yoshiura, *Publ. Astron. Soc. Japan* **75** (SP1), 1 (2023); 10.1093/pasj/psac042
- [12] T. Minoda et al., *Publ. Astron. Soc. Japan* **75**, S154 (2023); 10.1093/pasj/psac015
- [13] I.T. Iliev, P.R. Shapiro, A. Ferrara, H. Martel, *Astrophys. J.* **572**, L123 (2002); 10.1086/341869
- [14] I.T. Iliev, E. Scannapieco, H. Martel, P.R. Shapiro, *Mon. Not. Roy. Astron. Soc.*, **341**, 81 (2003); 10.1046/j.1365-8711.2003.06410.x
- [15] S.R. Furlanetto & S.P. Oh, *Astrophys. J.* **652**, 849 (2006); 10.1086/508448
- [16] P.R. Shapiro et al., *Astrophys. J.* **646**, 681 (2006); 10.1086/504972
- [17] M. Kuhlen, P. Madau, R. Montgomery, *Astrophys. J. Lett.* **637**, 1 (2006); 10.1086/500548
- [18] B. Novosyadlyj, V. Shulga, Yu. Kulinich, W. Han, *Physics of the Dark Universe* **27**, 100422 (2020); 10.1016/j.dark.2019.100422

<sup>7</sup> Добуток ефективного перерізу самоанігіляції, усередненого за швидкостями частинок, на частку густини самоанігіляційної темної від всієї темної матерії, поділений на масу частинки (див. вираз 6).

- [19] S. Wouthuysen, *Astrophys. J.* **57**, 31 (1952); 10.1086/106661
- [20] G.B. Field, *Proceedings of the IRE* **46**, 240 (1958); 10.1109/JRPROC.1958.286741
- [21] G.B. Field, *Astrophys. J.* **129**, 536 (1959); 10.1086/146653
- [22] J.R. Pritchard, A. Loeb, *Phys. Rev. D* **82**, id. 023006 (2010); 10.1103/PhysRevD.82.023006
- [23] J. Mirocha, G.J.A. Harker and J.O. Burns, *Astrophys. J.* **777**, 118 (2013); 10.1088/0004-637X/777/2/118
- [24] J. Mirocha, G.J.A. Harker and J.O. Burns, *Astrophys. J.* **813**, 11 (2015); 10.1088/0004-637X/813/1/11
- [25] A. Cohen, A. Fialkov, R. Barkana & M. Lotem, *Mon. Not. Roy. Astron. Soc.* **472**, 1915 (2017); 10.1093/mnras/stx2065
- [26] R.A. Monsalve, A.E.E. Rogers, J.D. Bowman, T.J. Mozdzen, *Astrophys. J.* **847**, 64 (2017); 10.3847/1538-4357/aa88d1
- [27] R.A. Monsalve et al., *Astrophys. J.* **863**, 11 (2018); 10.3847/1538-4357/aace54
- [28] R.A. Monsalve et al., *Astrophys. J.*, **875**, 67 (2019); 10.3847/1538-4357/ab07be
- [29] B. Novosyadlyj, Yu. Kulinich, G. Milinevsky, V. Shulga, *Mon. Not. Roy. Astron. Soc.* **526**, 2724 (2023); 10.1093/mnras/stad2927
- [30] J.D. Bowman et al., *Nature* **555**, 67 (2018); 10.1038/nature25792
- [31] R. Barkana, *Nature* **555**, 71 (2018); 10.1038/nature25791
- [32] A. Ewall-Wice et al. *Astrophys. J.* **868**, 63 (2018); 10.3847/1538-4357/aae51d
- [33] A. Halder, S. Shekhar Pandey & A.S. Majumdar, *J. Cosmol. Astropart. Phys.* bf 22, id. 049 (2022); 10.1088/1475-7516/2022/10/049
- [34] R. Hills, G. Kulkarni, P.D. Meerburg & E. Puchwein, *Nature* **564**, E32 (2018); 10.1038/s41586-018-0796-5
- [35] S. Singh et al., *Nature Astronomy*, **6**, 607 (2022); 10.1038/s41550-022-01610-5
- [36] M.J. Bentum et al., *Advances in Space Research*, **65**, 856 (2020); 10.1016/j.asr.2019.09.007
- [37] D. Rapetti, J. Hibbard, N. Bassett, J. Burns, *Bulletin of the American Astronomical Society*, **55**, No. 6, e-id 2023n6i315p07; <https://baas.aas.org/pub/2023n6i315p07/release/1>
- [38] L. Plice, K. Galal, J.O Burns, *arXiv:1702.00286*; 10.48550/arXiv.1702.00286
- [39] A. Goel et al., *Bulletin of the AAS*, **54**, 6 (2022); <https://baas.aas.org/pub/2022n6i312p06/release/1>
- [40] Y.G. Shkuratov et al., *Acta Astronautica* **154**, p. 214 (2019); 10.1016/j.actaastro.2018.03.038
- [41] Planck Collaboration: N. Aghanim et al., *Astron. Astrophys.* **641**, A1 (2020); 10.1051/0004-6361/201833880
- [42] Planck Collaboration: N. Aghanim et al., *Astron. Astrophys.*, **641**, A6 (2020); 10.1051/0004-6361/201833910
- [43] B. Novosyadlyj, O. Sergijenko, V.M. Shulga, *Kinem. Phys. Celest. Bodies*, **33**, 255; 10.3103/S088459131706006X
- [44] Yu. Kulinich, B. Novosyadlyj, V. Shulga, W. Han, *Phys. Rev. D* **101**, id. 083519 (2020); 10.1103/PhysRevD.101.083519
- [45] B. Novosyadlyj, Yu. Kulinich, V. Shulga, W. Han, *Astrophys. J.* **888**, id. 27 (2020); 10.3847/1538-4357/ab530f
- [46] B. Novosyadlyj, Yu. Kulinich, B. Melekh, V. Shulga, *Astron. Astrophys.* **663**, A120 (2022); 10.1051/0004-6361/202243238
- [47] S. Seager, D.D. Sasselov, D. Scott, *Astrophys. J. Lett.* **523**, p. 1 (1999); 10.1086/312250
- [48] S. Seager, D.D. Sasselov, D. Scott, *Astrophys. J.S* **128**, 407 (2000); 10.1086/313388
- [49] P.R. Shapiro & H. Kang, *Astrophys. J.* **318**, 32 (1987); 10.1086/165350
- [50] P. Anninos, Y. Zhang, T. Abel, M.L. Norman, *New Astronomy* **2**, 209 (1997); 10.1016/S1384-1076(97)00009-2
- [51] K. Subramanian, *Rep. Prog. Phys.* **79**, id. 076901 (2016); 10.1088/0034-4885/79/7/076901
- [52] A. Neronov, I. Vovk, *Science* **328**, 73 (2010); 10.1126/science.1184192
- [53] K. Takahashi, M. Mori, K. Ichiki, S. Inoue, H. Takami, *Astrophys. J. Lett.* **771**, id. L42 (2013); 10.1088/2041-8205/771/2/L42
- [54] Planck Collaboration: P.A.R. Ade et al., *Astron. Astrophys.* **594**, id. A19 (2016); 10.1051/0004-6361/201525821
- [55] S.K. Sethi & K. Subramanian, *Mon. Not. Roy. Astron. Soc.* **356**, 778 (2005); 10.1111/j.1365-2966.2004.08520.x
- [56] J. Chluba, D. Paoletti, F. Finelli, J.A. Rubiño-Martín, *Mon. Not. Roy. Astron. Soc.* **451**, 2244 (2015); 10.1093/mnras/stv1096
- [57] A. Mack, T. Kahniashvili, A. Kosowsky, *Phys. Rev. D* **65**, id. 123004 (2002); 10.1103/PhysRevD.65.123004
- [58] T. Minoda, H. Tashiro & T. Takahashi, *Mon. Not. Roy. Astron. Soc.* **488**, 2001 (2019); 10.1093/mnras/stz1860
- [59] J. Chluba, *Mon. Not. Roy. Astron. Soc.* **402**, 1195 (2010); 10.1111/j.1365-2966.2009.15957.x
- [60] H. Liu and T.R. Slatyer, *Phys. Rev. D* **98**, id. 023501 (2018); 10.1103/PhysRevD.98.023501
- [61] J.B. Muñoz, E.D. Kovetz & Y. Ali-Haïmoud, *Phys. Rev. D* **92**, id. 083528 (2015); 10.1103/PhysRevD.92.083528
- [62] Y. Ali-Haïmoud, J. Chluba, M. Kamionkowski, *Phys. Rev. Lett.* **115**, id. 071304 (2015); 10.1103/PhysRevLett.115.071304
- [63] R. Essig, T. Volansky, T.-T. Yu, *Phys. Rev. D* **96**, id. 043017 (2017); 10.1103/PhysRevD.96.043017
- [64] P. Madau, A. Meiksin, M.J. Rees, *Astrophys. J.* **475**, 429 (1997); 10.1086/303549
- [65] M. Zaldarriaga, S.R. Furlanetto, L. Hernquist, *Astrophys. J.* **608**, 622 (2004); 10.1086/386327
- [66] O. Konovalenko et al., *J. Phys. Stud.* **28**, id. XXXXX (2024)

SIGNAL IN THE HYPERFINE STRUCTURE LINE OF THE GROUND STATE OF ATOMIC HYDROGEN FROM THE DARK AGES AS A COSMOLOGICAL TEST. B. Novosyadlyj, Yu. Kulinich, O. Konovalenko.

– We analyze the formation of the redshifted hyperfine structure line 21-cm of hydrogen atoms in Dark Ages at  $30 \leq z \leq 300$  in the different cosmologies. To study its dependence on the values of cosmological parameters and physical conditions in the intergalactic medium, the evolution of the global (sky-averaged) differential brightness temperature in this line was computed in standard and non-standard cosmological models with different parameters. The standard  $\Lambda$ CDM model with post-Planck parameters predicts a value of the differential brightness temperature in the center of the absorption line  $\delta T_{br} \approx 35$  mK at  $z \approx 87$ . The frequency of the line in the absorption maximum is 16 MHz, the effective half-width of the line is 17 MHz. The depth of line is moderately sensitive to  $\Omega_b$  and  $H_0$ , weakly sensitive to

$\Omega_{dm}$ , and insensitive to other parameters of the standard  $\Lambda$ CDM model. But line is very sensitive to the additional mechanisms of heating or cooling of baryonic matter during the Dark Ages, so it can be a good test of non-standard cosmological models. In the models with decaying and self-annihilating dark matter, as well as with a primordial stochastic magnetic field, the temperature of baryonic matter in this period is higher if the larger is the fraction of these energy components of dark matter and magnetic field strength. The absorption line becomes shallower, disappears and transitions to emission at values of the component parameters lower than the upper limits on them following from the current observational data. Estimates show that such spectral features may be detected by radio telescopes in the decameter wavelength range in the near future.

Keywords: cosmological Dark Ages, hydrogen 21 cm line, self-annihilating dark matter, decaying dark matter, primordial magnetic fields